

鐵 と 鋼 第二十二年 第四號

昭和十一年四月二十五日發行

說論

酸化鐵の水素瓦斯還元及び酸化に就て

後藤有一*

ON THE REDUCTION OF FERRIC-OXIDE BY HYDROGEN AND OXIDATION OF
METALLIC IRON REDUCED FROM FERRIC-OXIDE.

By Yuichi Gotoh

SYNOPSIS:—This problem has always studied by several authors, but it is not yet determined whether the reaction $Fe_2O_3 \rightarrow Fe_3O_4 \rightarrow Fe$ or the reaction $Fe_2O_3 \rightarrow Fe_3O_4 \rightarrow FeO \rightarrow Fe$ takes place.

In this paper, the changes in weight after reduction and oxidation of the ferric oxide and Anshan hematite are measured by the precision spring thermal balance with an electromagnet applied and the relations between the reactions involving the reduction and the oxidation, and the temperature are determined. In addition, the reducing and oxidizing reactions are discussed by the X ray analysis of the samples reduced and oxidized to different degrees.

From the experimental results, it may be inferred that the reduction takes place in the two stages $Fe_2O_3 \rightarrow Fe_3O_4 \rightarrow Fe$: and the ferrous oxide has no relation to the reduction. When the reduction of ferric oxide is carried out at constant temperature, the first stage of reduction is carried out very rapidly; and then the second stage of reduction proceeds gradually in a straight line. In the case of reduction at the gas velocity of 70cc per minute, the reaction of $Fe_2O_3 \rightarrow Fe_3O_4$ begins at 250°C and completely at 300°C. On the further reduction, the sample is partly reduced to metallic iron, which is not separated, but exist as a solid solution with Fe_3O_4 up to the percentage reduction of 21%. The metallic iron is saturated at about 21% and separated as a free metal. Then the reaction $Fe_3O_4 \rightarrow Fe$ takes place very rapidly, until the sample is reduced completely to the metallic iron at 480°C.

In the case of oxidation of the metallic iron reduced from ferric oxide, the reaction is the reverse of the reducing reaction : i. e., $Fe \rightarrow Fe_3O_4 \rightarrow Fe_2O_3$. The reaction $Fe \rightarrow Fe_3O_4$ proceeds very rapidly at 80~250°C. Then the oxidation $Fe_3O_4 \rightarrow$ magnetic Fe_2O_3 commences to take place at about 300°C. and the magnetic hematite is altered to non-magnetic at about 500°C. Then the ferric oxide with rhombohedral structure is obtained at 850°C.

When the reduction of ferric oxide and Anshan hematite are carried out at the constant gas velocity of 120 cc per minute, the relations between the percentage reduction and the time of reduction at various temperatures are obtained. At a constant temperature, varying gas velocity, the relation between the percentage reduction and the time of reduction is obtained.

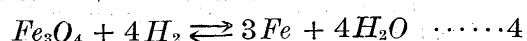
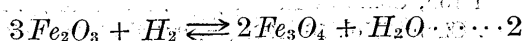
In the reduction of the ferric oxide, the relation between the velocity of gas, the velocity of reduction and the reducing temperature is determined.

目 次

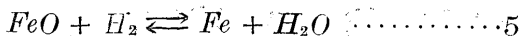
- I. 緒言、II. 實驗試料、III. 實驗裝置及び實驗方法、IV. 實驗結果、1. 熱天秤に依る第二酸化鐵の水素瓦斯還元、2. 熱天秤に依る還元試料酸化、3. 還元瓦斯通過量と還元速度の關係、4. 還元溫度と還元速度の關係、5. X線的研究、V. 實驗結果の考察、1. 酸化鐵水素瓦斯還元溫度及び酸化溫度、2. 酸化鐵水素瓦斯還元及び酸化進行狀態、3. 酸化鐵水素瓦斯還元に於ける瓦斯通過量、還元溫度、還元速度の關係、VI. 總括

L 繕 言

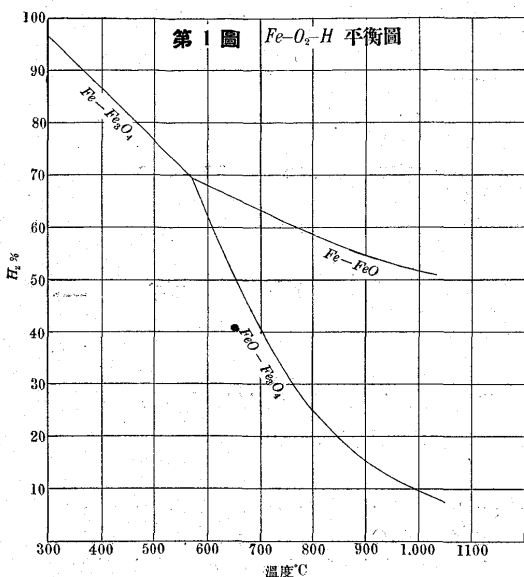
酸化鐵及び水素間に於ける化學平衡は既に諸家に依り研究され次式により與へられて居る。



* 昭和製鋼所研究所



これら諸反応間の平衡恒数も既に諸家に依り研究されて居る、Eastman, R. M. Evans¹⁾は諸説を總括して第1圖の如き $Fe-O-H$ 平衡状態圖を與へて居る。圖に於て



$Fe-FeO$, $Fe-Fe_3O_4$ 曲線は $570^{\circ}C$ にて交り、この點にて Fe , FeO , Fe_3O_4 の三相が平衡に達する事を示して居る。この點以上にては $Fe + H_2O \rightleftharpoons FeO + H_2$ 及び $3FeO + H_2O \rightleftharpoons Fe_3O_4 + H_2$ の二平衡存在し $570^{\circ}C$ 以下にては $Fe-Fe_3O_4$ の間に唯一つの平衡が存在するのみである。

G. Chaudron²⁾ は高溫にて生じた FeO は $570^{\circ}C$ 以下にては $4FeO = Fe + Fe_3O_4$ に従ひ分解すると述べて居る、従つて常溫に於ては Fe と Fe_3O_4 のみが平衡にあづかるものと考へられる。

還元反応により成生する酸化物に關しては諸説があるが Deville は最初固相は Fe_4O_5 であると考へ G. Preuner³⁾ は Fe と Fe_3O_4 の混合物であると云ひ O. Sacker は Fe と FeO の間の酸化物であると述べて居る。E. Schreiner 及び F. B. Grimnes⁴⁾ の兩氏が $Fe + H_2O \rightleftharpoons FeO + H_2$ なる反應式の高溫に於ける平衡恒數を求めて他の諸家と異つた値を得た。この値は熱力學上の平衡恒數の値より大なる値を示して居る。これは Fe と FeO の間に

固溶體を成生する爲である。

以上は平衡状態に於ける還元反応なる故酸化鐵を H_2 瓦斯氣流中にて還元する場合の還元進行状態は前式とは趣を異にするべきである。この問題に關しては嘉村氏¹⁾は瓦斯通過速度毎分 35cc の場合各溫度に於ける還元速度を測定し 600°C にて還元速度の急變化を認め之は 570°C 以下にては $Fe_3O_4 + 4H_2 = 3Fe + 4H_2O$ なる變化起るが 570°C 以上にては FeO 安定になり $Fe_3O_4 + H_2 = 3FeO + H_2O$; $FeO + H_2 = Fe + H_2O$ の二段の變化起る爲であると述べて居る。又三田氏²⁾は瓦斯速度を種々に變化して實驗した結果 Chaudron は 570°C 以下にては FeO は不安定で存在せずと云つて居るが然らざる様に思はれる。従つて還元反応は Deville の述べし如く $Fe_3O_4 + 4H_2 = 3Fe + 4H_2O$ の反應式では無く矢張り $Fe_3O_4 + H_2 = 3FeO + H_2O$, $FeO + H_2 = Fe + H_2O$ と云ふ二段の反應となつて居るのであらうと述べて居る、山本氏³⁾は熱天秤にて還元度を測定し還元を途中に止めて X 線寫眞を撮り $Fe_3O_4 \rightarrow FeO \rightarrow Fe$ の變化により Fe 迄還元する事を述べて居る。

著者は電磁石を應用せるスプリング式熱天秤を用ひて、 Fe_2O_3 を Fe 迄還元せし場合又は還元により得たる金屬鐵を酸化する場合の還元減量及び酸化增量を測定し還元及び酸化と溫度の關係を求め且還元酸化の途中の試料を作り其の X 線寫真を撮り還元酸化進行狀態を明にした。又瓦斯通過量を一定にして各溫度に於ける還元率と還元時間の關係曲線を求め各溫度を通じて $Fe_3O_4 \rightarrow Fe$ の如く還元進行する事を確めた。尙還元速度、瓦斯通過量、還元溫度間の關係を圖示し三者の關係を明にした。

II 實驗試料

天然鑛石には多少種々の不純物を混在し酸化還元に際して多少影響するものと考へられるを以て、この影響を除く爲最初人工製純第二酸化鐵に就て行ひ次で鞍山赤鐵鑛に就て行つた。兩者共 100 メッシュ以下の粉末を使用した。

人工製 Fe_2O_3 :— メルク製硝酸鐵溶液に 7% アムモニア液を注ぎ水酸化鐵の沈澱を作り、次に之を濾過し温湯にて數回洗滌してリトマス紙によりアルカリ性反應を認めざるに至つて止め、最初 80°C にて 24 時間乾燥し次に

¹⁾ Eastman, Jour. Chem. Soc., Vol. 44 (1922), p. 975.
Vol. 46 (1924), p. 888.

²⁾ Chaudron, Comptes Rendus, Vol. 159 (1914), p. 273
Ann. Chem., Vol. 16 (1921), p. 221

³⁾ Preuner, Zeit. Physik. Chem., Vol. 47 (1904), p. 385

⁴⁾ Schreiner and Grimnes, Zeit. Anorg. Chem., Vol. 110 (1920), p. 311.

¹⁾ 嘉村平八 Jour. Iron and Steel Inst., Vol. 112 (1925), p. 279.

²⁾ 三田正揚 鞍山鐵鋼會誌 31 號 (1929) p. 1067.

³⁾ 山本信公 鐵と鋼 19 年 (1933) p. 115.

120°C にて 24 時間乾燥し最後に 350°C にて 20 時間焼きて完全に水酸化鐵を酸化鐵に變じて作つた。其の成分は次の如きものである。



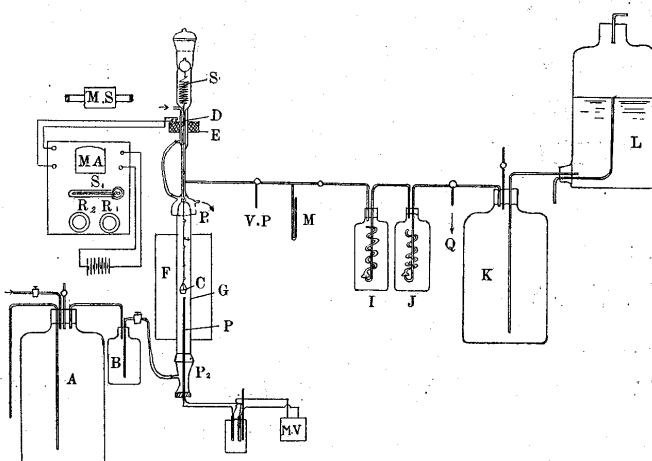
西鞍山赤鐵礦：一 西鞍山赤鐵礦を 500°C にて脱水して用ひた。平均分析は次の如くである。

| Fe | FeO | SiO ₂ | Fe ₃ O ₄ | Fe ₂ O ₃ | Al ₂ O ₃ 其他 |
|-------|------|------------------|--------------------------------|--------------------------------|-----------------------------------|
| 67.60 | 0.81 | 2.42 | 2.61 | 93.89 | 1.08 |

III. 實驗裝置及び實驗方法

本實驗に使用せし實驗裝置は第2圖に示す如くにして其の主要部分は電磁石を應用せる熱天秤と瓦斯通過裝置とより成る。

第2圖 實驗裝置



| | | |
|---|--------------------|------------------|
| A aspirator | S Silica Spring | M.S. 顯微鏡 |
| B.J. 洗滌壺(H ₂ SO ₄) | C 試料皿 | M A milli-ameter |
| I Pyrogallol | F 爐 | V.P. 真空ポンプ |
| G 反應管 | P Pyrometer | M 水銀壓力計 |
| D Magnet | MV Milli voltmeter | Q キップの装置 |
| E Solenoid | K 瓦斯タンク | |

精密熱天秤は圖に示す如く熔融石英スプリング S の下端に白金線を以て順次鐵心 D 及び白金試料皿 C を吊しスプリング及び鐵心は硝子製圓筒中に又試料皿は反應管中に收めて外界と孤立せる系を構成して居る。従つて任意の氣體中又は真空中にて物質の重量の變化を精密に測定する事が出来る。

E はソレノイドにて上記圓筒の此の部分は二重壁の流水冷筒をなしソレノイドを冷却する様にしてある。反應リシカ管は内徑 22 mm、長さ 40 cm にて兩端はすり合せ P₁P₂ にて上部は熱天秤に下部は瓦斯出口に連結して居る。上部摺り合せは水冷し摺り合せ軸の軟化を防ぐ様に出來て居り 800°C の高溫にても 0.01 mm の真空に保つ事が出来る。

反應管は電氣爐 F にて加熱され管内の溫度は下部 P₂ よりアルメル、クロメル熱電對を挿入して測定する。電氣爐 F はニクロム線を巻き長さ 21 cm 中央 5 cm は常溫より 800°C 近の間に於て一定に保たれる様に出來て居る。爐内溫度はオートトランシスフォーマーにて調整され士 3°C の範圍に一定に保たれる。試料は試料皿 C に入れて白金線にて吊してある、白金線は針金自身の歪力を除ぐ爲めに短き線にて鎖状に連結してある。

試料の重量の増減は試料の重量變化に伴ふスプリングの伸縮による鐵心の移動に對して常に鐵心を零位に定座せしむる様にソレノイドの電磁力即ちソレノイドの電流を調節して求められる、即ち其の際加減せる電流の値より豫め作製せる検定表第1表により重量の値を求むる事が出来る。

この場合鐵心の零位は水平式讀取顯微鏡 M. S の測微尺上にて觀測する。スプリング S はシリカ製にて最高荷重 2.5 g、延伸率 33 mg である。ソレノイド電流は抵抗 S, R₁, R₂, にて自由に變化する事が出来る、重量の變化とソレノイド電流の關係は次の如くにして求められる。ソレノイドが鐵心に及ぼす電磁力は兩者の關係位置によつて異り一般にソレノイドの中心に鐵心の端がある時最大にて其の時或る一定の重量の變化に對する電流は最小である。故にソレノイド電流と荷重との關係値は各々特定位置にて求めが必要である。本實驗に於ては一定の重量變化に對して最小の電流値を示すべきソレノイドの位置を選定した。重量變化とソレノイド電流の關係は試料皿に 0.3 g の分銅をのせ 0.01 g 宛減じて其の都度鐵心が零位を示す様にソレノイド電流を加減して其の時のソレノイド電流を讀みて求められる。以上の如くにして第1表の如き結果を得た。

第 1 表

重量減量 g

| | | | | | | | | | | |
|--------------------|------|------|------|-------|-------|-------|-------|-------|-------|-------|
| 0.01 | 0.02 | 0.03 | 0.04 | 0.05 | 0.06 | 0.07 | 0.08 | 0.09 | 0.10 | 0.11 |
| ソレノイド電流 mil.ampere | | | | | | | | | | |
| 21.0 | 44.0 | 64.7 | 85.0 | 105.0 | 124.5 | 145.0 | 165.2 | 185.6 | 205.6 | 224.1 |

スプリング式熱天秤は鐵の臺にて支えられて居る爲溫度の上昇により多少零位を變化する故この補正を行ふ必要がある。本裝置に就き溫度補正を行ひ第2表の如き結果を得たり。

第 2 表

| 溫 度 °C | 50 | 100 | 150 | 200 | 250 | 300 | 350 | 400 | 450 | 500 |
|--------|---------|--------|--------|--------|--------|---------|--------|--------|--------|--------|
| 補正(-)g | 0.00002 | 0.0002 | 0.0002 | 0.0005 | 0.0007 | 0.00067 | 0.0010 | 0.0010 | 0.0012 | 0.0012 |

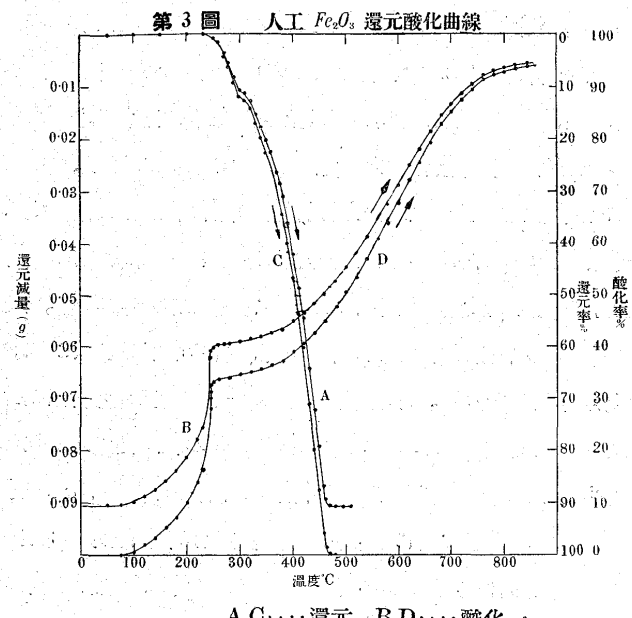
H_2 瓦斯はキップ装置にて作り瓦斯溜 K に貯藏し洗滌壠 I を通して H_2SO_4 にて水分を吸收させ次に J を通じて Pyrogaroll にて酸素を除き反応管へ導入される。實験の最初に於て先づ Megvac 真空ポンプ V.P にて反応管中を真空中にして H_2 とおきかへる。アスピレーター A にて瓦斯通過量を調節し且タンクに目盛して瓦斯通過量を測定する様にしてある。

瓦斯溜の前に L なるタンクを置き常に水位を一定にして瓦斯の壓力を一定にする様にしてある。反応管内の壓力は壓力計 M にて讀む事を得。

IV. 實驗結果

1) 热天秤に依る第二酸化鐵の水素瓦斯還元。

a) 人工 Fe_2O_3 の場合 人工 Fe_2O_3 約 0.3030g を



試料皿 C に入れて P より H_2 瓦斯を毎分 70cc の割合にて流して還元し溫度上昇に伴ふ、還元減量を 10°C 每に測定すれば第3圖 A の様になる。溫度は毎分 2°C の割合にて上昇する。240°C 迄は重量の變化無く 250°C より減少し始め 260°C より殆んど直線的に急激に減少し 300°C にて減量急に減り曲點を示し 320°C より再び急激に重量減少し始め 370°C の減量 0.0270g 迄は殆んど直線的に前と同様の割合にて重量減少を示して居る。それ以後は急激に減少して 480°C にて還元減量 0.0906g を示し以後溫度を上昇するも一定となる。

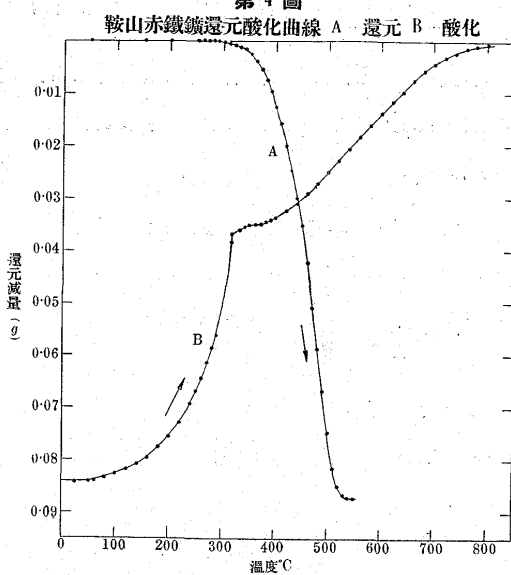
1g の Fe_2O_3 を完全に Fe に還元する時の還元減量を理論的に計算すれば 0.3g となる故この場合の試料 0.3020g が完全に Fe に還元する時の還元減量 0.0906g である。

實際實驗の場合には還元減量 0.0906g にて一定となり前の計算値と同値にてこの場合完全に Fe 迄還元された事を示して居る。

即ち此の場合 250°C にて還元始り $3Fe_2O_3 + H_2 = 2Fe_3O_4 + H_2O$ なる反応進行し 300°C 附近にて全部 Fe_3O_4 となり以後還元急に進行して 480°C にて全部金屬鐵迄還元される。

(b) 鞍山赤鐵礦の場合 鞍山赤鐵礦 0.3016g を取り前述の方法に

て H_2 瓦斯
還元を行ひ
還元減量と
溫度の關係
を求むれば
第4圖 A の
様になる。
300°C にて
還元開始し
最初は還元
緩漫なるも
溫度上昇と
共に漸次盛
になり 450°C 附近より急に減少して 530°C にて還元減量 0.0872g となり全部金屬鐵に還元される。



以上二つの場合を見るに第二酸化鐵を H_2 瓦斯氣流中にて還元する時は人工 Fe_2O_3 は 250°C にて還元始り 480°C にて全く金屬鐵に還元されるが赤鐵礦は還元開始溫度も金屬鐵に還元される溫度も共に 50°C 高くなつて居る。

人工 Fe_2O_3 を還元する場合にて還元減量 0.0106g 即酸素減量 11.8% ($Fe_2O_3 \rightarrow Fe_3O_4$ の變化に於ける酸素減量は 11%) の所にて曲點を示し一時還元停頓の状態を示して居るが赤鐵礦の場合は明なる曲點を示さず漸次還元進行して居る。

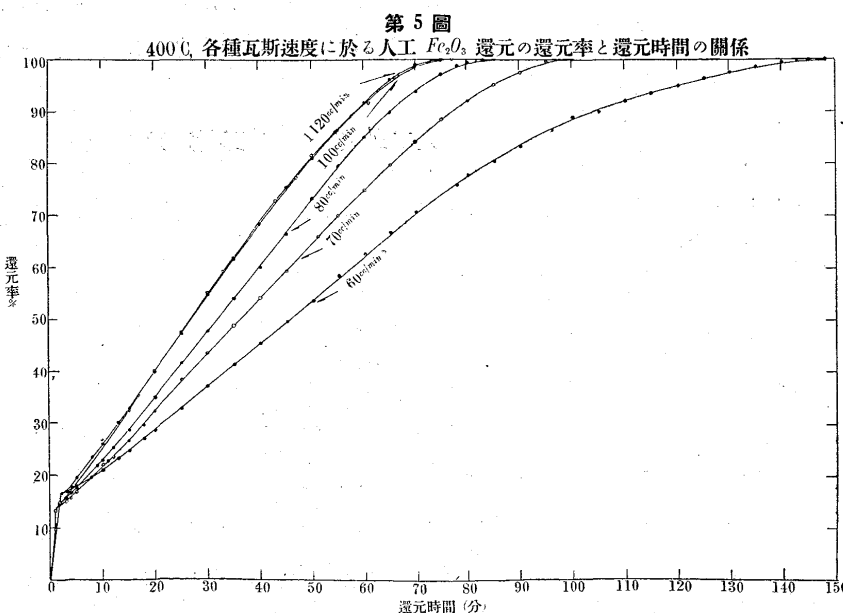
2. 热天秤に依る還元試料酸化 水素瓦斯氣流中にて金屬鐵迄還元せる試料を水素瓦斯中にて酸化せざる様注意して冷却し熱天秤にて酸化增量なき事を確め次に空氣と置き換へ溫度上昇しながら空氣氣流中にて酸化して酸化增量と溫度の關係を求むれば第3圖 4 B の様になる。第3圖 B は人工 Fe_2O_3 の場合にて第4圖 B は鞍山赤鐵礦の場合である。人工 Fe_2O_3 を還元せる試料の場合には 70°C より

酸化始り漸次酸化増量急激になり 230°C 近は殆んど酸化増量なく 300°C 以上にて再び酸化始り以後直線的に酸化増量し 850°C にて酸化増量 0.0860g となりそれ以後温度上昇するも一定となる。この際の酸化増量は $\text{Fe} \rightarrow \text{Fe}_2\text{O}_3$ の變化の際の理論的酸化増量 0.0906g とは一致せず酸化試料中に多少 Fe 或は一定低級酸化物を殘留する事を示して居る。然して酸化試料は無磁性にてX線寫眞にても Fe_2O_3 以外の反射線現はれず殘留せる Fe 或は安定低級酸化物（主に Fe_3O_4 と考へられる）は Fe_2O_3 に固溶するものと考へられる。

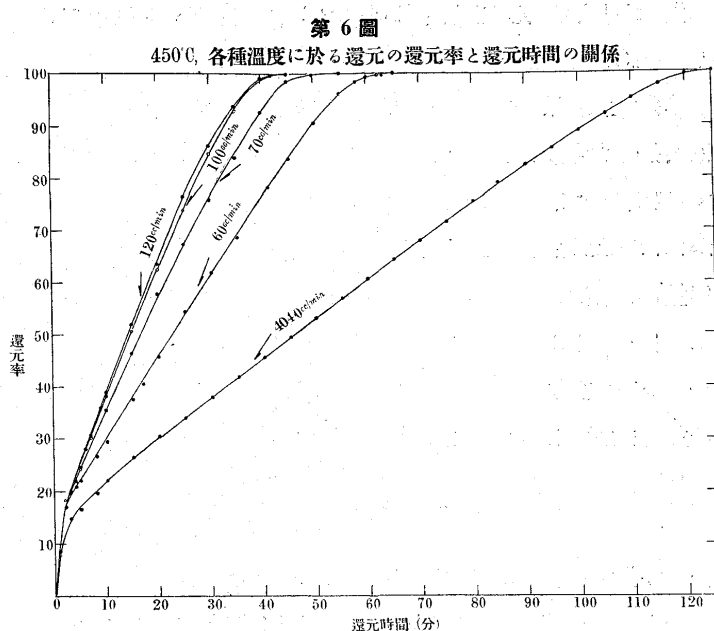
鞍山赤鐵礦還元試料の場合の酸化對溫度曲線も大體人工 Fe_2O_3 還元試料酸化の場合と同様の傾向を有し 50°C より酸化開始し 800°C にて酸化完了して居る。即ち人工 Fe_2O_3 還元試料の場合より酸化容易である。

人工、天然何れの場合も $\text{Fe} \rightarrow \text{Fe}_2\text{O}_3$ 近酸化進行する途中に酸化の停止する溫度範囲がある。即ち人工 Fe_2O_3 還元試料の場合は $230^{\circ}\sim 300^{\circ}\text{C}$ 、酸化増量 0.0314g 酸化率 34% (FeO は 66.6% , Fe_3O_4 は 88.8%) の點にて赤鐵礦の場合には $290^{\circ}\sim 370^{\circ}\text{C}$ 、酸化増量 0.0522g 酸化率 60% の點にて酸化停止状態を示し、この點迄の酸化は容易なるもこの點以上の酸化は困難である。

3. 還元瓦斯通過量と還元速度の關係 人工 Fe_2O_3 約 0.3g を試料皿に入れ熱天秤のスプリング S に吊し燃焼管内にて夫々 400°C , 450°C , 500°C , 600°C に加熱し真空中にて約 30 秒間にて水素と置き換へて瓦斯通過量を夫々毎分 $40, 60, 70, 80, 100, 120\text{cc}$ として還元率と時間



第5圖 400°C 各種瓦斯速度に於ける人工 Fe_2O_3 還元の還元率と還元時間の關係



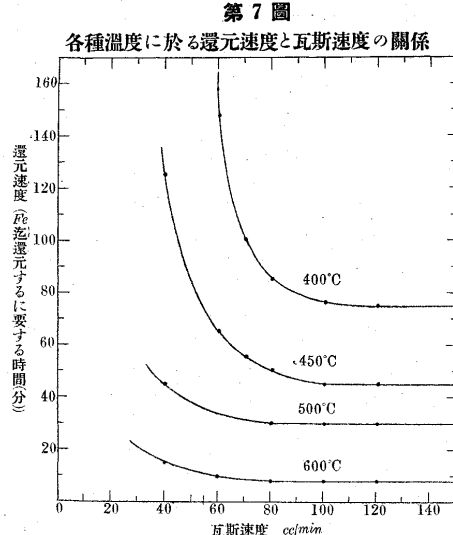
の關係を求むれば第 5~6 圖の様になる。還元率は

$$\frac{\text{還元減量}}{\text{Fe}_2\text{O}_3 \text{を } \text{Fe} \text{ 近還元する場合の計算還元減量}} \times 100$$

を以て表はした。試料は 100 メッシュ以下の粉末にして試料皿内に約 2mm の薄層をなして居る故一様に還元進行するものと考へられる。第 5 圖は 400°C の場合、第 6 圖は 450°C の場合である。圖にて明かなる如く還元率 15% 附近迄は瓦斯通過量の影響殆んど無く還元は急に進行し還元曲線は殆んど一致して居るが、それ以後は還元曲線急に緩かになり殆んど直線的に瓦斯通過量増加するに従つて其の傾斜急になり、瓦斯通過量毎分 100cc 以上の場合は還元曲線殆んど一致して居る。還元溫度 400°C の場合には 15% 附近にて還元曲線に曲點を示し、 450°C の場合には $16\% \sim 17\%$ 附近にて還元曲線の傾斜に急變を示して居る。これは後に詳述する如くこの附近にて $\text{Fe}_2\text{O}_3 \rightarrow \text{Fe}_3\text{O}_4$ の反応完全に完了し一部分 $\text{Fe}_3\text{O}_4 \rightarrow \text{Fe}$ の變化進行するも Fe は Fe_3O_4 に固溶する爲である。即ち還元率約 15% 以前に於ては $\text{Fe}_2\text{O}_3 \rightarrow \text{Fe}_3\text{O}_4$ の變化起りこれ以後にては $\text{Fe}_3\text{O}_4 \rightarrow \text{Fe}$ の反応進行するものと考へ得べく、還元曲線の最初の急變化は $\text{Fe}_2\text{O}_3 \rightarrow \text{Fe}_3\text{O}_4$ の還元反応が 400°C , 450°C にて速かに進行する事を示し、次の直線的變化は $\text{Fe}_3\text{O}_4 \rightarrow \text{Fe}$ の還元反応が徐々に進行する事を示して居る。還元曲線より明かなる如く $\text{Fe}_2\text{O}_3 \rightarrow \text{Fe}_3\text{O}_4$ な

る還元反応は殆んど瓦斯通過量に影響なく速かに進行する
も $Fe_3O_4 \rightarrow Fe$
なる還元反応は
瓦斯通過量増加
するに従つて速
かになり瓦斯通
過量ある値以上
にては一定にな
つて居る前述
の如く還元率約
16% 近は瓦斯
通過量の如何に
拘らず還元速度

は殆んど一定と見做し得べく、それ以後還元は大體直線的
に進行して居る故金屬鐵迄還元するに要する時間にて
 $Fe_3O_4 \rightarrow Fe$ なる還元反応の還元速度を表はす事が出来る。
従つて各温度に於ける瓦斯通過量と Fe_2O_3 を Fe 還元



第7圖 各種溫度に於る還元速度と瓦斯速度の關係

するに要する時間の関係を求むれば第3表及び第7圖の

第3表 金屬鐵迄還元するに要する時間と瓦斯速度の關係

| 瓦斯速度 cc/min | 還元時間(分) | | | |
|----------------|---------|-------|-------|-------|
| | 400°C | 450°C | 500°C | 600°C |
| 40 | — | 125 | 45 | 15 |
| 60 | 148 | 65 | — | 10 |
| 70 | 100 | 55 | — | — |
| 80 | 85 | — | 30 | 8 |
| 100 | 77 | 45 | 30 | 8 |
| 120 | 75 | 45 | 30 | 8 |

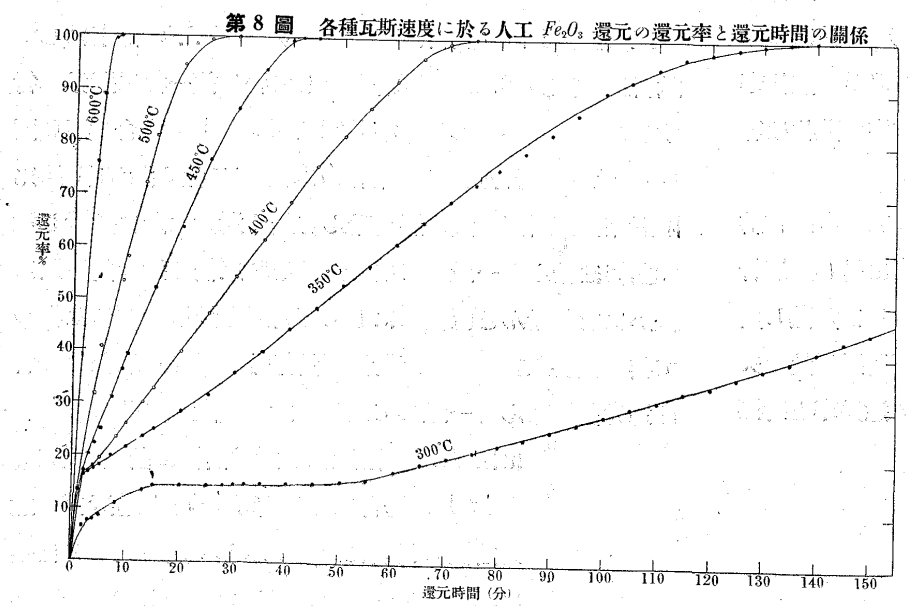
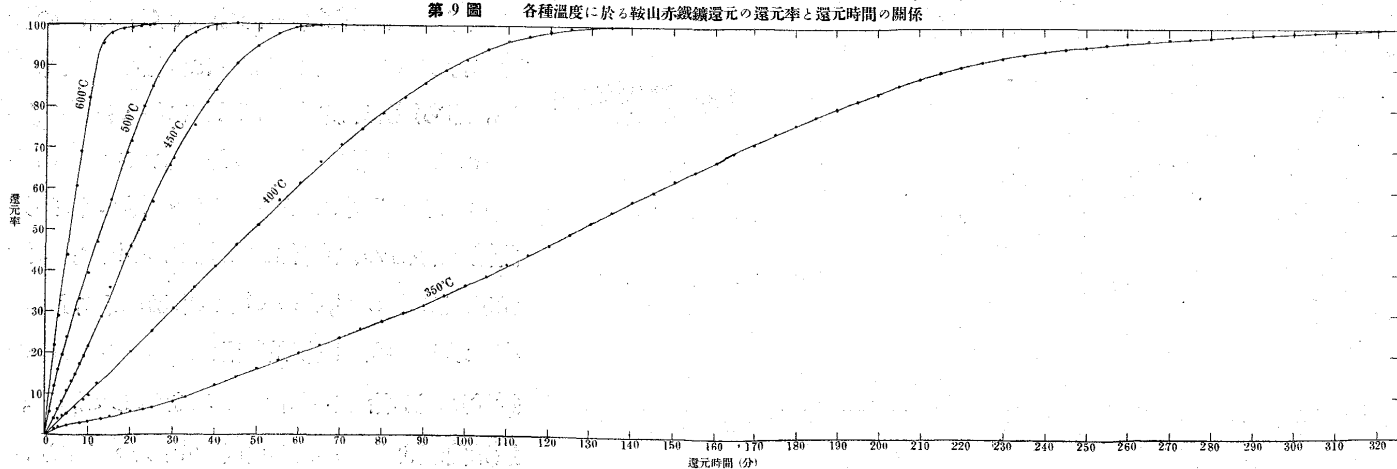
様になり之れにより $Fe_3O_4 \rightarrow Fe$ なる還元反応の還元速度と瓦斯通過量の関係を明にする事が出来る。

圖より明かなる如く何れの溫度にても $Fe_3O_4 \rightarrow Fe$ なる還元反応の還元速度は瓦斯通過量減少するに従つて對數曲線的に減少して居る。(圖は還元速度を還元時間にて表はしてあるから逆に考へるべきである) 還元溫度に依り異なるもある瓦斯通過量以上にては還元速度は一定になり、それより減少するに従つて還元速度減少しある。瓦斯通過量以下にては金屬鐵迄還元する事は出來なくなる。即ち 400°C, 450°C, 500°C 及び 600°C の場合には瓦斯通過量夫々毎

分 110cc, 100cc, 80cc, 80cc 以上にては還元速度一定となり、毎分 55cc, 35cc, 20cc, 10cc 以下にては $Fe_3O_4 \rightarrow Fe$ なる反応は進行しない。

4. 還元溫度と還元速度の關係 瓦斯通過量を毎分 120cc として前と同様の方法にて溫度を夫々 300°C, 350°C, 400°C, 500°C 及び 600°C に一定に保ち 5 分毎に還元減量を測り還元率と還元時間の関係を求むれば第8~9圖の様になる。第8圖は人工 Fe_2O_3 第9圖は鞍山赤鐵礦の場合である。

人工 Fe_2O_3 の H_2 瓦斯還元の場合には 16

第8圖 各種瓦斯速度に於る人工 Fe_2O_3 還元の還元率と還元時間の關係

%附近迄は還元急に進行しそれ以後は少し還元速度遅く直線的に進行して遂に金屬鐵になる。これに反し鞍山赤鐵礦の場合は最初より殆んど直線的に還元進行して途中にて著しき還元速度の變化認められず。人工 Fe_2O_3 を $350^{\circ}C$, $400^{\circ}C$ にて還元する場合には夫々 16% 及び 16.5% にて還元曲線に曲點がある。 $300^{\circ}C$ にて還元する場合は最初還元急に進行するも還元度 14.5% にて殆んど O_2 減量なくなり約 36 分後再び還元始り以後直線的に還元進行して居る。この點に關する詳細なる説明は後節に譲る。

前述の如くこの曲點以前にては $Fe_2O_3 \rightarrow Fe_3O_4$ の反應行はれ何れの場合にも非常に速かにて約 3 分にて終了して居る。この曲點を過ぎて後始めて $Fe_3O_4 \rightarrow Fe$ なる反應進行し殆んど直線的に進行して居る。従つて前節と同様に Fe_2O_3 より金屬鐵迄還元するに要する時間により $Fe_3O_4 \rightarrow Fe$ の反應速度を表はす事が出来る。又赤鐵礦の場合には直線的に $Fe_2O_3 \rightarrow Fe_3O_4 \rightarrow Fe$ の反應進行する故に還元時間により $Fe_2O_3 \rightarrow Fe_3O_4 \rightarrow Fe$ なる還元反應の反應速度を表はす事が出来る。人工 Fe_2O_3 及び天然赤鐵礦を夫々 Fe 還元するに要する時間と溫度の關係を求むれば第 4 表及び第 10 圖の様になる。圖より明かなる如く鞍山赤鐵礦の還元

第 4 表 金屬鐵迄還元するに要する時間と還元溫度の關係

| 還元溫度°C | 350 | 400 | 450 | 500 | 600 |
|-------------|-----|-----|-----|-----|-----|
| 還元時間 (分) | 140 | 75 | 45 | 30 | 8 |
| 鞍山赤鐵礦 | 320 | 135 | 70 | 45 | 25 |

速度は人工 Fe_2O_3 の場合より $50^{\circ}C$ 後れて居るが兩者共同様の傾向を示し還元時間は溫度の上昇と共に對數曲線に従つて減少して居る。即ち人工、天然赤鐵礦を水素瓦斯還元の場合夫々 $Fe_3O_4 \rightarrow Fe$ 及び $Fe_2O_3 \rightarrow Fe_3O_4 \rightarrow Fe$ なる還元反應の反應速度は溫度の上昇と共に對數曲線に従つて増加する。

5. X 線的研究 酸化鐵の還元酸化の途中に於ける酸化鐵の結晶構造の變化を知る爲めに第 3 圖の酸化還元曲線の途中に於ける試料に就き X 線的研究を行つた。試料は第

1 圖の裝置に依り人工 Fe_2O_3 約 0.3 g を採り前と同様に水素瓦斯氣流中にて還元して還元の途中にて中止し N_2 瓦斯にておき換へて冷却する。酸化試料は一度金屬鐵迄還元して再び酸化して酸化異なる試料を作つた。還元酸化何れの場合も冷却後の試料の目方の増減なきを確め冷却の際試料は變化せざるものとした。還元酸化して作つた X 線試料は第 5,6 表の如し。

第 5 表

| 試料番號 | 試料重量g | 還元率% | 試料番號 | 試料重量g | 還元率% |
|------|--------|------|------|--------|-------|
| 27 | 0.3027 | 4.85 | 17 | 0.3012 | 33.8 |
| 12 | 0.3000 | 11.8 | 20 | 0.3001 | 54.4 |
| 13 | 0.3002 | 13.3 | 16 | 0.3014 | 60.0 |
| 11 | 0.3018 | 13.9 | 21 | 0.3013 | 69.8 |
| 18 | 0.3026 | 21.7 | 22 | 0.3000 | 82.7 |
| 19 | 0.3004 | 22.5 | 15 | 0.3000 | 100.0 |
| 14 | 0.3013 | 31.8 | | | |

第 6 表

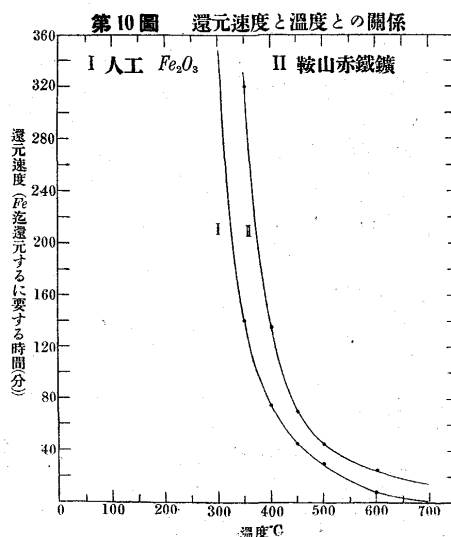
| 試料番號 | 試料重量g | 金屬鐵迄還元後の重量g | 酸化增量g | 酸化率% |
|------|--------|-------------|--------|------|
| 30 | 0.3000 | 0.2100 | 0.0086 | 9.6 |
| 23 | 0.3000 | 0.2100 | 0.0279 | 31.0 |
| 25 | 0.2985 | 0.2090 | 0.0306 | 34.2 |
| 24 | 0.3000 | 0.2100 | 0.0458 | 51.0 |
| 28 | 0.3000 | 0.2100 | 0.0620 | 69.0 |
| 26 | 0.3020 | 0.2114 | 0.0852 | 94.0 |

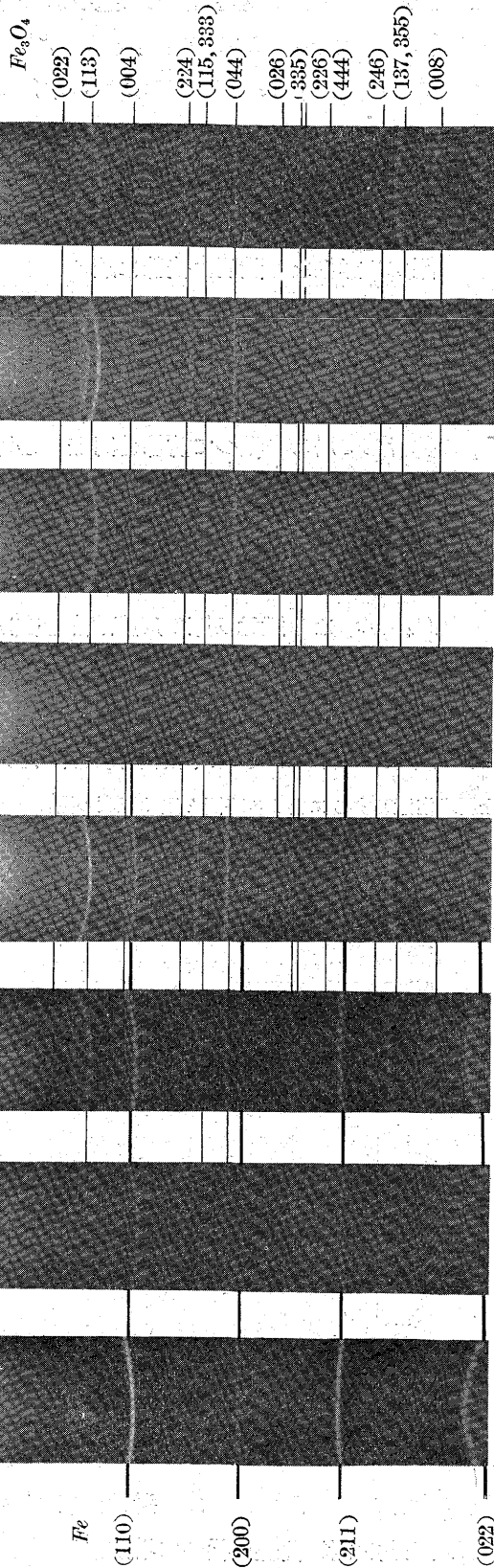
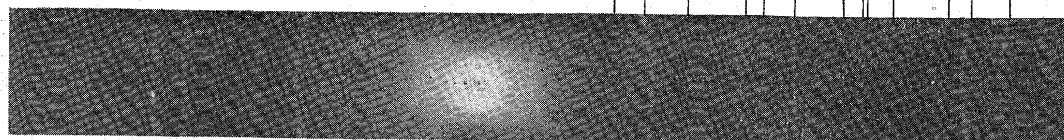
備考 表中還元率 = $\frac{\text{還元減量} \times 100}{Fe_2O_3 \text{ を金屬鐵迄還元する際の計算還元減量}}$
 Fe_2O_3 は還元率 11.1%, FeO は還元率 33.3% に相當して居る。

酸化率 = $\frac{\text{酸化增量} \times 100}{Fe \text{ を } Fe_2O_3 \text{ 還元する際の計算酸化增量}}$
 FeO は酸化率 66.6%, Fe_3O_4 は酸化率 88.8% に相當す。

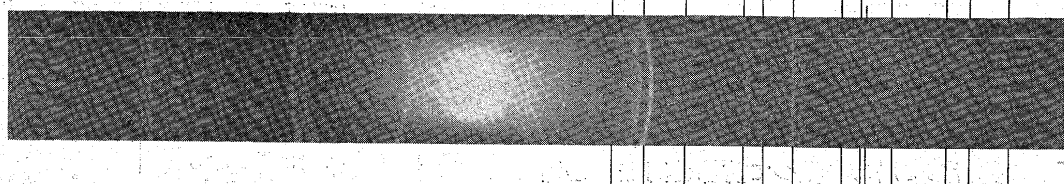
X 線寫眞裝置 X 線はハッディング、ジーグバーン型金屬管球を用ひて發生し使用電圧は 5,000v である。Camera No. 5, 6, 10, 11 の内徑は夫々 55.27, 55.17, 55.50, 及び 55.40 mm である。試料は酸化を防ぐ爲に真空コック用グリーズにて細き硝子棒の表面に奇麗に張り直徑約 0.6 mm の棒状として Camera の中心に護謨粘土にて取付けた。slit と試料の位置の調節を得たる後鐵の特性 X 線を與へて寫眞を撮つた。

還元酸化中に各種酸化鐵の發生し消失する状態、上述の如くにして露出した X 線寫眞は PL. I, PL. II の如し PL. I 第 1~8 圖及び PL. II 第 7 圖は夫々磁鐵礦 (Fe_3O_4 面心立方體)、金屬鐵 (體心立方體)、及び Fe_2O_3 (斜方晶系) の X 線粉末寫眞である、PL. I は還元せる場合、PL. II は金屬鐵迄還元せる試料を酸化せる場合である。X 線寫眞の各反射線の線間距離を測定しこれより $\sin\theta$ を計算して各種酸化鐵の反射線を夫々 Fe_3O_4 , FeO , Fe の反射面による反射線に分類し反射線の強さを示せば第 7 表

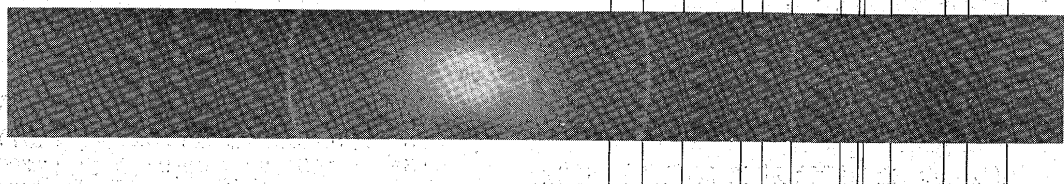


PI. Fe_2O_3 還元。第1圖 Fe_3O_4 

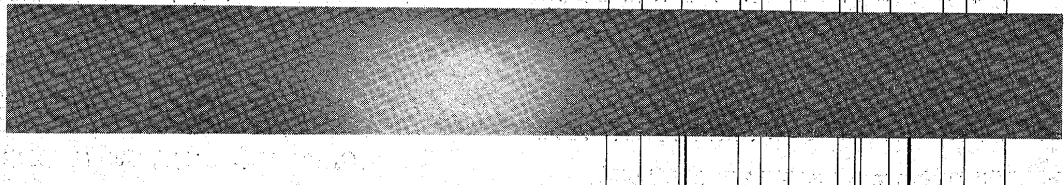
第2圖 48%



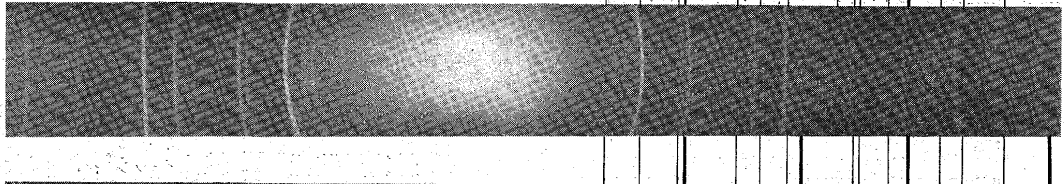
第3圖 11.8%



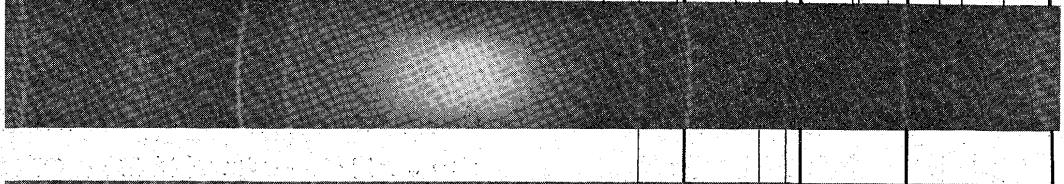
第4圖 22.5%



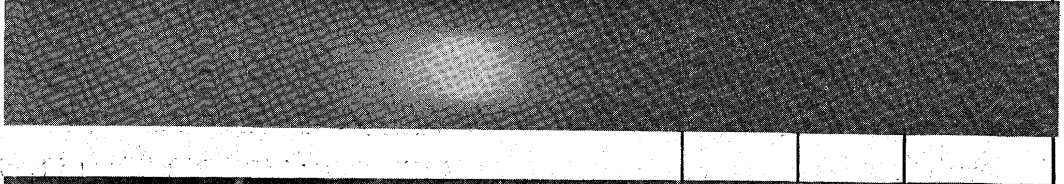
第5圖 31.8%



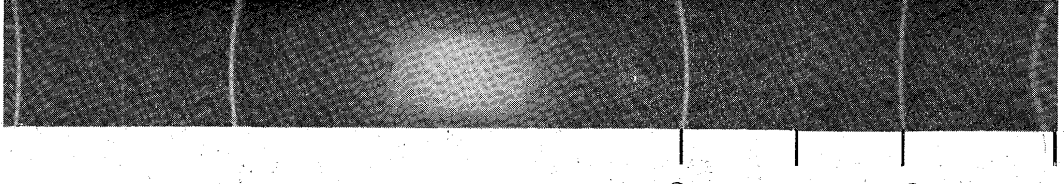
第6圖 60.0%



第7圖 82.7%

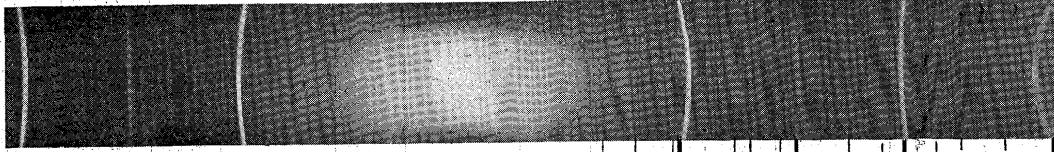


第8圖 100%

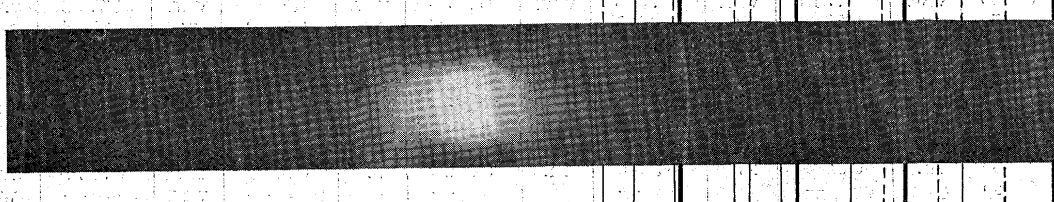


PL. II Fe_2O_3 還元試料酸他

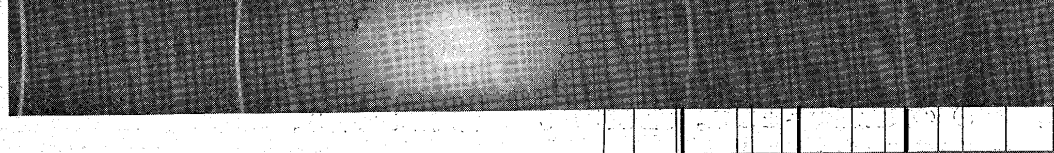
第1圖 9.6%



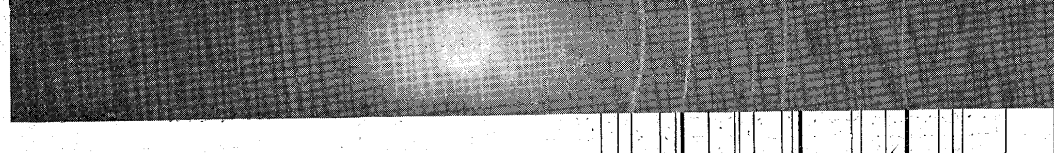
第2圖 31.0%



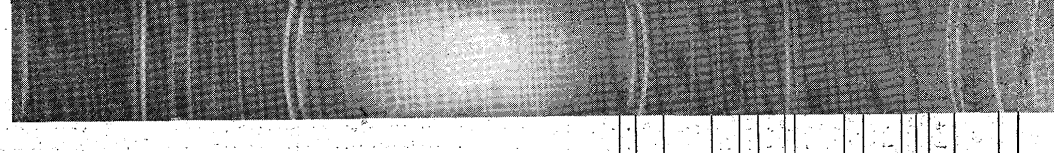
第3圖 34.2%



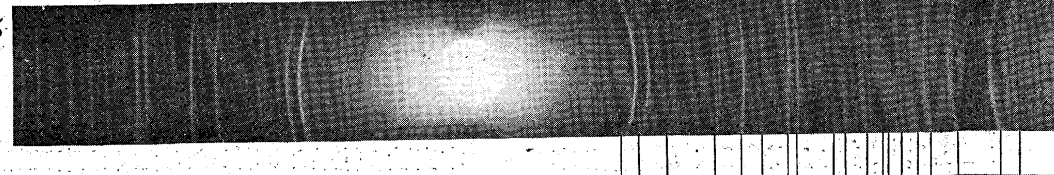
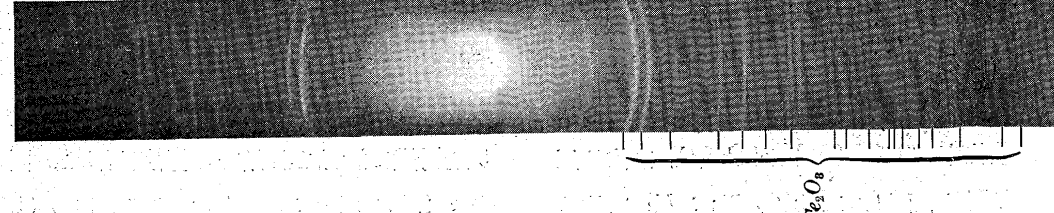
第4圖 51.0%



第5圖 69.0%



第6圖 94.0%

第7圖 Fe_2O_3 

の如し。

PL.I 及び第7表より明なる如く還元進むに従つて Fe_3O_4 の反射線現はれ還元率 11.8% にて Fe_2O_3 の反射面による反射線は完全に消失し Fe_3O_4 の反射線のみとなり第1圖 (Fe_2O_3) と同様になる。還元率 21.7% 迄は Fe_3O_4

の反射面による反射線のみにて他の反射線を見ないが還元率 22.5% の時初めて Fe の反射線が微すかに現れ 31.8% 迄還元すれば Fe の反射面による反射線全部現れ以後還元進行するにつれ反射線強くなる。還元率 60% 迄は Fe_3O_4 の反射面による反射線は全部殘存して居るが以後還元進行

第7表 各種還元試

| Phase | h k l | 還元率% | | | | | | | | | | | |
|-----------|-------|-------|--------|-------|--------|-------|--------|-------|--------|-------|--------|-------|--------|
| | | 磁鐵鑛 | | 11·8 | | 13·9 | | 21·7 | | 22·5 | | 31·8 | |
| | | I | sinθ |
| Fe_3O_4 | (022) | m. | 0·3290 | m. | 0·3294 | m. | 0·3291 | m. | 0·3327 | m. | 0·3311 | m. | 0·3291 |
| " | (113) | v.st. | 0·3836 | v.st. | 0·3867 | v.st. | 0·3846 | v.st. | 0·3896 | v.st. | 0·3886 | v.st. | 0·3857 |
| " | (222) | v.w. | 0·4007 | v.w. | 0·4042 | v.w. | — | v.w. | 0·4042 | v.w. | — | v.w. | 0·4008 |
| " | (004) | m. | 0·4620 | m. | 0·4664 | m. | 0·4633 | m. | 0·4693 | m. | 0·4673 | m. | 0·4640 |
| Fe | (110) | — | — | — | — | — | — | w. | 0·4845 | m. | 0·4796 | m. | 0·4796 |
| Fe_3O_4 | (224) | w. | 0·5664 | w. | 0·5704 | w. | 0·5679 | w. | 0·5734 | w. | 0·5715 | w. | 0·5676 |
| " | (115) | st. | 0·6007 | st. | 0·6056 | st. | 0·6020 | st. | 0·6070 | st. | 0·6068 | st. | 0·6022 |
| " | (044) | v.st. | 0·6544 | v.st. | 0·6585 | v.st. | 0·6563 | v.st. | 0·6601 | v.st. | 0·6594 | v.st. | 0·6554 |
| Fe | (200) | — | — | — | — | — | — | v.w. | — | v.w. | — | v.w. | 0·6780 |
| Fe_3O_4 | (026) | v.w. | 0·7313 | v.w. | 0·7355 | v.w. | 0·7334 | v.w. | 0·7365 | v.w. | 0·7366 | v.w. | 0·7325 |
| " | (335) | w. | 0·7583 | w. | 0·7615 | w. | 0·7596 | w. | 0·7619 | w. | 0·7614 | w. | 0·7605 |
| " | (226) | v.w. | 0·7660 | v.w. | 0·7708 | v.w. | — | v.w. | — | v.w. | — | v.w. | 0·7670 |
| " | (444) | v.w. | 0·8021 | v.w. | 0·8048 | v.w. | 0·8032 | v.w. | 0·8054 | v.w. | 0·8048 | v.w. | 0·8021 |
| Fe | (211) | — | — | — | — | — | — | w. | 0·8317 | m. | 0·8304 | m. | 0·8304 |
| Fe_3O_4 | (246) | w. | 0·8638 | w. | 0·8684 | w. | 0·8672 | w. | 0·8687 | w. | 0·8688 | w. | 0·8658 |
| " | (137) | st. | 0·8878 | st. | 0·8907 | st. | 0·8899 | st. | 0·8908 | st. | 0·8909 | st. | 0·8885 |
| " | (008) | m. | 0·9241 | m. | 0·9255 | m. | 0·9258 | s. | 0·9262 | m. | 0·9271 | m. | 0·9257 |
| Fe | (022) | — | — | — | — | — | — | v.w. | — | v.w. | — | v.w. | 0·9578 |

* 磁鐵鑛は本溪湖磁鐵鑛を 1,000°C にて 1 時間真空中加熱せしものを用ゆ。

するにつれ弱い線は漸次消失し還元率 82·7% の時は (113) (115), (044), (137) の反射線のみとなる。還元率 100% の時は初めて全部 Fe の反射線のみとなる。即ち人工 Fe_2O_3 を還元する時は初 $Fe_2O_3 \rightarrow Fe_3O_4$ の変化起りて Fe_3O_4 となり漸次 Fe_2O_3 消失し 11·8% にて完全に Fe_3O_4 となり 21·5% 迄は還元進行するに拘らず Fe_3O_4 の結晶構造を示し他の酸化物現れず、還元率 22·5% の時初めて Fe が現はれる。 Fe_3O_4 は消失し難く 82·7% 迄還元するも尚僅かに残存して居る。

次に Fe_2O_3 を Fe 迄還元せる試料を酸化する場合には X 線寫真 PL. II より明かなる如く酸化率 96% の時は未だ Fe の反射線強く現はれかすかに Fe_3O_4 の (113) (115) (044) に依る反射線が現はれて居るのみであるが酸化進行するに従つて Fe_3O_4 に依る反射線強くなり酸化率 34·2% にては Fe_3O_4 による反射線が殆んど全部現れて居る。更に酸化進行するも Fe_3O_4 に依る反射線以外の線現はれず酸化率 51% の時初めて Fe_2O_3 に依る反射線がかすかに現はれ、酸化率 69% の時には Fe_2O_3 に依る反射線が全部現はれて居る。而して Fe_3O_4 及び Fe に依る反射線は 69% 酸化するも尚相當強く残存して居る。即ち Fe_2O_3 を Fe 迄還元せる試料を酸化する場合には最初 $Fe \rightarrow Fe_3O_4$ なる酸化反応進行して Fe_3O_4 を生じ、酸化進行するに従つて漸次 Fe_3O_4 を増加するが 34% 迄は他の酸化物を見ず、酸化率 51% にて初めて Fe_2O_3 を生じ以後漸次 Fe_2O_3 を増加し酸化率 94% にて全部 Fe_2O_3 とな

る。而して Fe_3O_4 及び Fe は酸化率 69% に於ても尚相當殘存して居る。

還元酸化何れの場合も FeO に依る反射線現はれず FeO は存在しない事を示して居る。

V. 實驗結果の考察

以上の實驗結果を基として水素瓦斯還元及び酸化に於ける諸現象を考察すれば次の如くなる。

1. 酸化鐵水素瓦斯還元溫度及び還元試料酸化溫度。

酸化鐵水素瓦斯還元に於ける還元開始溫度は其の酸化鐵の性質及び還元される條件に依り異り文献に依りて一致せざるも極めて緩漫なる速度にては 200°C に於て還元作用行はれるものと云ひ得。

本實驗の結果より明かなる如く水素瓦斯氣流中にて酸化鐵を還元する場合には人工 Fe_2O_3 に於ては 240°C 天然赤鐵礦にては 300°C にて $Fe_2O_3 \rightarrow Fe_3O_4$ 反應開始し夫々 300°C 及び 350°C にて盛に Fe_3O_4 に變する。 Fe_3O_4 より金屬鐵に還元され始むる溫度は第 10 圖より推定すれば夫々 280°C 及び 330°C である。300°C 及び 350°C 以上にては容易に金屬鐵迄還元される。 Fe_3O_4 にて還元を止むるには第 8 圖より明かなる如く 300°C にて瓦斯速度毎分 120cc の時約 20 分還元するが又溫度高き時は瓦斯速度に依り多少異なるが大體 5 分位還元すればよい。

金屬鐵迄還元せる試料を酸化する場合の酸化開始溫度は還元程度により異なるも充分に金屬鐵迄還元せる場合には

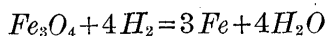
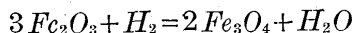
料 X 線 研究 結果

| 還元率 % | | | | | | | | | | | |
|-------|--------|------|--------|------|--------|------|--------|------|--------|------|--------|
| 38.7 | | 54.4 | | 60 | | 69.8 | | 82.7 | | 100 | |
| I | sinθ | I | sinθ | I | sinθ | I | sinθ | I | sinθ | I | sinθ |
| w. | 0.3303 | w. | 0.3303 | w. | 0.3294 | w. | 0.3311 | v.w. | 0.3303 | — | — |
| st. | 0.3867 | st. | 0.3859 | st. | 0.3857 | m. | 0.3878 | w. | 0.3867 | — | — |
| — | 0.4034 | — | — | — | — | — | — | — | — | — | — |
| w. | 0.4661 | w. | 0.4657 | w. | 0.4645 | v.w. | 0.4676 | — | — | — | — |
| m. | 0.4824 | st. | 0.4815 | v.w. | 0.4796 | v.w. | 0.4828 | v.w. | 0.4815 | v.w. | 0.4820 |
| v.w. | 0.5697 | v.w. | 0.5666 | v.w. | 0.5676 | v.w. | 0.5720 | — | — | — | — |
| m. | 0.6044 | m. | 0.6019 | m. | 0.6013 | m. | 0.6064 | v.w. | 0.6048 | — | — |
| st. | 0.6574 | st. | 0.6554 | st. | 0.6553 | m. | 0.6585 | w. | 0.6581 | — | — |
| v.w. | 0.6776 | m. | 0.6803 | m. | 0.6786 | m. | 0.6845 | m. | 0.6804 | m. | 0.6812 |
| v.w. | 0.7345 | v.w. | — | v.w. | 0.7337 | — | — | — | — | — | — |
| v.w. | 0.7600 | v.w. | 0.7600 | v.w. | 0.7588 | v.w. | 0.7620 | v.w. | — | — | — |
| v.w. | — | — | — | — | — | — | — | — | — | — | — |
| v.w. | 0.8041 | v.w. | — | v.w. | 0.8032 | v.w. | — | — | — | — | — |
| m. | 0.8303 | st. | 0.8314 | v.w. | 0.8303 | v.w. | 0.8330 | v.w. | 0.8311 | v.w. | 0.8314 |
| v.w. | 0.8672 | v.w. | — | v.w. | 0.8667 | v.w. | — | — | — | — | — |
| m. | 0.8894 | m. | 0.8890 | m. | 0.8893 | m. | 0.8913 | v.w. | 0.8904 | — | — |
| m. | 0.9252 | w. | 0.9252 | w. | 0.9253 | v.w. | 0.9270 | v.w. | — | — | — |
| w. | 0.9560 | m. | 0.9582 | st. | 0.9578 | st. | 0.9589 | v.w. | 0.9579 | v.w. | 0.9583 |

80°C にて $Fe \rightarrow Fe_3O_4$ の酸化反応始り 200°C 附近にて盛に進行する。 $Fe_3O_4 \rightarrow Fe_2O_3$ の反応は非常に困難にて 300°C 附近にて始めて起る。

2. 酸化鐵水素瓦斯還元及び還元試料酸化進行状態

第二酸化鐵を水素瓦斯にて金屬鐵迄還元する場合には著者の實驗結果によれば



の如く反応進行し FeO 相の存在を認めぬ。之れ Chaudron 氏の主張せし如く FeO は不安定の爲め存在し難き爲であらう。此の關係は還元及酸化曲線及び X 線寫眞による異種研究により明かである。

還元及酸化に於ける進行状態を明かにする爲に前掲せる還元及び酸化に依る重量變化と溫度の關係第3圖 A, B を還元率及酸化率と溫度の關係曲線に書き改むれば第3圖 D, E の様になる。最初 240°C にて還元始り 260°C 附近より盛に進行し還元率 11.8%, 300°C にて曲點を示し以後急に還元進行し還元率 22% 350°C 附近にて再び曲點を示して居る。

還元曲線の各點に於ける試料に就き行へる X 線研究結果に依れば前述の如く還元進行するに従ひ Fe_3O_4 を生じ還元率 11.8% にて遂に Fe_2O_3 を殆んど消失し Fe_3O_4 のみとなり更に還元進行するも 21.5% 迄は Fe の反射線現れず 22% にて始めて Fe の反射線現れる。還元率 80% 迄は Fe_3O_4 を存在して居る。この X 線研究結果と

還元曲線とは良く一致して居る。即ち 11.8% に於ける曲點は全部 Fe_3O_4 に還元される點にて還元率 22% 附近の曲點は金屬鐵の析出を示して居る。還元率 22% 以後は還元曲線急傾斜をなし $Fe_3O_4 \rightarrow Fe$ なる反応が速かに進行する事を示して居る。300°C 還元率 11.8% にて全部 Fe_3O_4 に成り更に還元進行するも外の酸化物による反射線を見ざるは還元生成物が Fe_3O_4 に固溶する爲であると考へられる。此の際成生する固溶體は $Fe_3O_4 - Fe$ なるか $Fe_3O_4 - FeO$ ならざる可からず。而して FeO は全實驗に於て現はれざる點より見れば $Fe_3O_4 - Fe$ の固溶體を成すものと考ふべきである。 $Fe_3O_4 - Fe$ の固溶體に於ける固溶體限は上述の實驗のみにて決定する事は困難なるも大體還元率 21% 迄は固溶さるものと考へ得。この問題に關しては目下精密法にて研究中である、理論的に Fe_3O_4 迄還元される場合の還元減量は 11% にして還元率 21% の時は $5Fe_3O_4 \cdot 2Fe$ にて表はされる。

種々の瓦斯速度、還元溫度に於て人工 Fe_2O_3 を還元する場合の還元率と還元時間の關係を見るに第 5, 6, 8 圖に示せる如く何れの場合も 15% 附近に曲點を示して居る。この曲點以前にては $Fe_2O_3 \rightarrow Fe_3O_4$ なる還元反応進行しこの曲點以後にては $Fe_3O_4 \rightarrow Fe$ なる還元反応進行する。15% 附近にて曲點を示すはこの附近に全部 Fe_3O_4 となり更に還元進行するも 21% 迄は Fe を固溶する爲 $Fe_3O_4 \rightarrow Fe$ の還元反応進行し難く且還元反應 $Fe_2O_3 \rightarrow Fe_3O_4$ と $Fe_3O_4 \rightarrow Fe$ との反應速度異なる爲と考へられる。

還元速度と溫度の關係は第 10 圖の如くにして溫度上昇と共に對數曲線に従つて増加して居る。これは FeO 存在せず各溫度に於て $Fe_3O_4 \rightarrow Fe$ なる反應進行する爲である。

以上の實驗結果より推論すれば酸化鐵を水素瓦斯還元する場合には $Fe_2O_3 \rightarrow Fe_3O_4 \rightarrow Fe$ の如く二段に反應進行するものと見るべきにて人工 Fe_2O_3 の場合には第一段反應は 250°C にて始り 300°C 附近にて全部 Fe_3O_4 になり更に $Fe_3O_4 \rightarrow Fe$ の反應進行し始め一部分 Fe を生ずるも 21% 迄は Fe_3O_4 に固溶され遊離 Fe は存せず 21% 附近にて過飽和の狀態となり遂に Fe を析出し以後は $Fe_3O_4 \rightarrow Fe$ の反應急激に進行して 430°C にて全部金屬鐵になる。

Fe 迄還元せる試料を酸化する際の酸化率對溫度曲線第 3 圖 D 及び X 線的研究結果より酸化進行狀態を推論すれば次の様になる。

80°C 附近にて酸化始り $3Fe + 2O_2 = Fe_3O_4$ なる反應進行し次第に盛になり 240°C にて急激に酸化增量を示し酸化率 34% となる。この點にて一時酸化停止状態を示し以後溫度上昇するも酸化增量を示さず。即ちこの點にて $Fe \rightarrow Fe_3O_4$ の反應進行して Fe_3O_4 となり更に一部 Fe を固溶するに至る。

X 線寫眞にて Fe に依る反射線現るるが故に Fe の一部固溶し一部は遊離して殘存するものと考へられる。酸化率 34% の時は $Fe_3O_4 \cdot 5Fe$ に相當す可きも實際は $5Fe_3O_4 \cdot 2Fe$ に相當する Fe 量だけ固溶し他は遊離の状態にて存在し約 53% Fe が殘存して居る事になる。この際發熱するは $Fe \rightarrow Fe_3O_4$ の反應熱に依るのである。更に溫度上昇酸化を續行するも殘存せる Fe は酸化し難く且 $Fe_3O_4 \rightarrow Fe_2O_3$ の反應進行し難き爲 360°C 迄は酸化增量殆んど無く 360°C より再び酸化始り $Fe \rightarrow Fe_3O_4$ 及び $Fe_3O_4 \rightarrow Fe_2O_3$ なる反應進行し急に酸化增量を示して居る。

酸化の際 300°C 附近にて $Fe_3O_4 \rightarrow Fe_2O_3$ の反應進行するもこの Fe_2O_3 は磁性第二酸化鐵にて Fe_3O_4 と同一結晶構造を有して居る爲 X 線にては區別されない。磁性第二酸化鐵は約 500°C にて非磁性第二酸化鐵となり斜方晶系となる。酸化率 51% 迄は Fe_2O_3 の反射線を見ざるは $Fe_3O_4 \rightarrow$ 磁性 Fe_2O_3 の反應起る爲にして 51% の時かすかに Fe_2O_3 の反射線を見るはこの溫度にて磁性 $Fe_2O_3 \rightarrow$ 非磁性 Fe_2O_3 の變化ある爲である。

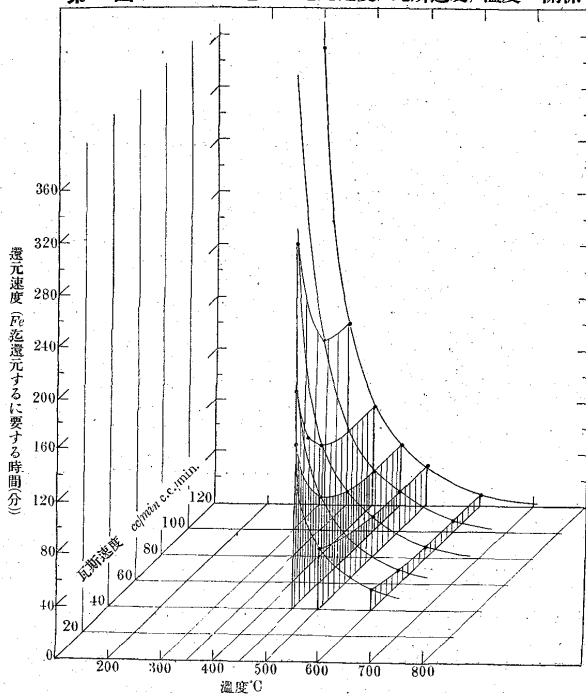
即ち Fe_2O_3 を Fe 迄還元せる試料を酸化する場合には

大體還元の場合の逆の反應行はれ 80~250°C にて盛に $Fe \rightarrow Fe_3O_4$ なる反應進行し次に 300°C 附近より $Fe_3O_4 \rightarrow$ 磁性 Fe_2O_3 の酸化反應始り 500°C にて非磁性 Fe_2O_3 となり 800°C にて全部斜方晶系 Fe_2O_3 となる。最初 $Fe \rightarrow Fe_3O_4$ なる反應は容易に進行し酸化され易き部分は全部 Fe_3O_4 となり殘存せる Fe の $Fe \rightarrow Fe_3O_4$ なる酸化反應及び $Fe_3O_4 \rightarrow Fe_2O_3$ なる反應は困難である。

3. 酸化鐵水素瓦斯還元に於ける瓦斯通過量、還元溫度還元速度の關係。

一般に還元速度は瓦斯通過量及び還元溫度に左右される水素瓦斯氣流中にて還元する場合還元速度の測定は困難なるを以て金屬鐵迄還元するに要する時間を以て還元速度を表はす事とした。x, y, z 三軸に夫々還元時間、瓦斯通過量、還元溫度をとりて實驗結果を圖示すれば第 11 圖の様になり、これにより三者間の關係を明かにする事が出来る

第 11 圖 人工 Fe_2O_3 還元の還元速度、瓦斯速度、溫度の關係



第 11 圖は人工 Fe_2O_3 の場合にて圖にて明かな如く瓦斯通過量一定なる時は溫度上昇するに連れ還元時間は對數曲線に従つて減少して居る。即還元速度は瓦斯通過量の如何に拘らず溫度と共に増加し或る溫度以上にては一定になり、溫度下降するに従つて遅くなり或る溫度（瓦斯通過量毎分 40, 60, 80, 100, 120cc の時には夫々 400, 380, 330, 280°C）以下にては Fe 迄還元出來なくなる。還元溫度を一定に保つ場合還元速度は瓦斯速度增加するに従つて速かになり或瓦斯速度（300, 400, 450, 500 及び 600°C

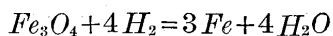
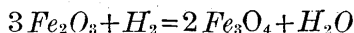
の時毎分 120, 100, 80 及び 60 cc 以上にては一定となる。而して瓦斯速度減少するに従つて還元速度減少し或る瓦斯速度(300, 350, 400°C の時毎分 80, 80 及び 60 cc) 以下にては Fe 迄還元するを得ず。

瓦斯通過量速き時は還元に依り生じた水蒸氣はたえず取り去られ試料の周囲は常に新しい H_2 にて満されるが瓦斯通過量少き時は水蒸氣の一部分残り試料の周囲は H_2 と水蒸氣の混合氣體にて包まれる事となる。従つて瓦斯通過量多き時は第 1 圖の平衡圖の 100% H_2 の場合と考へ得可く速かに $Fe_3O_4 \rightarrow Fe$ の反應進行するも瓦斯通過量少き時は試料の周囲の氣相の H_2/H_2+H_2O の比が實際には 300°C, 350°C, 400°C, 450°C, 500°C の時夫々 96, 91.5, 86.5, 81.5 及び 76.5% より小なるものと考へ得べく還元は Fe_3O_4 にて平衡狀態となりこれ以上進行せず Fe 迄還元する事は不可能になる。

VI. 總 括

以上述べし事柄を總括すれば次の如くなる。

- 1) 酸化增量及び還元減量の測定にはスプリング式精密熱天秤を用ひた。
- 2) 本實驗にては還元及び酸化瓦斯として夫々水素及び空氣を用ひた。還元溫度は 600°C 迄の場合に就き實驗した。
- 3) 瓦斯通過量毎分 70 cc として第二酸化鐵を還元し還元減量と溫度の關係を求むれば第 3 圖 A, 第 4 圖 A の如し。
- 4) Fe_2O_3 を Fe 迄還元せる試料を酸化する場合の酸化增量と溫度の關係を求むれば第 3 圖 B, 第 4 圖 B の如し。
- 5) 還元酸化の途中の試料を作り X 線寫眞を撮り還元酸化進行狀態を明かにした。
- 6) 第二酸化鐵を水素にて還元する場合には



の如く還元進行する、即ち人工 Fe_2O_3 の場合には 240°C にて還元始り $Fe_2O_3 \rightarrow Fe_3O_4$ の反應進行し 300°C 附近

にて全部 Fe_3O_4 となり更に $Fe_3O_4 \rightarrow Fe$ の反應進行し始め一部分 Fe になるも還元率 21% 迄は Fe_3O_4 に固溶され遊離 Fe は存在せず 21% 附近にて過飽和の狀態となり Fe を析出し以後は $Fe_3O_4 \rightarrow Fe$ の反應急激に進行して 480°C にて全部 Fe になる。

7) Fe_2O_3 を Fe 迄還元せる試料を酸化する場合には大體還元の場合の逆の反應進行し 80°~250°C にて盛に $Fe \rightarrow Fe_3O_4$ の反應進行し酸化率 34% に達し以後 360°C 迄は殆んど酸化せず次に再び酸化始り $Fe_3O_4 \rightarrow$ 磁性 Fe_2O_3 の酸化反應進行し 500°C 附近にて非磁性 Fe_2O_3 となり 800°C にて全部斜方晶系の Fe_2O_3 となる。

- 8) 還元酸化の何れの場合にも FeO は表はれない。
- 9) 瓦斯通過毎分 120 cc として種々の還元溫度に於ける還元率と時間の關係を求むれば第 8 圖第 9 圖の様になる
- 10) Fe_2O_3 を Fe 迄還元するに要する時間と溫度の關係を求むれば第 10 圖の如くなり還元溫度上昇するに従つて還元時間は對數曲線的に減少して居る。

11) 何れの溫度にても鞍山赤鐵礦の場合は人工 Fe_2O_3 の場合より 50°C 還元が遅れて居る。

12) 人工 Fe_2O_3 を一定溫度にて瓦斯通過量を種々變化して還元する場合の還元率と時間の關係を求むれば第 5~6 圖の様になる。即 $Fe_2O_3 \rightarrow Fe_3O_4$ なる反應は瓦斯通過量に殆んど無關係に速かに進行するも $Fe_3O_4 \rightarrow Fe$ なる反應は瓦斯通過量に依りて異り殆んど直線に進行して居る。

13) 人工 Fe_2O_3 を Fe 迄還元するに要する時間即ち $Fe_3O_4 \rightarrow Fe$ なる還元反應の還元速度と瓦斯通過量の關係を圖示すれば第 7 圖の如くなり瓦斯通過量增加するに従ひ對數曲線的に還元速度を増加して居る。即ちある瓦斯通過量以上にては還元速度一定になり。或る瓦斯通過量以下にては $Fe_3O_4 \rightarrow Fe$ の還元進行し難き事を示して居る。

14) 人工 Fe_2O_3 を Fe 迄還元するに要する時間 ($Fe_3O_4 \rightarrow Fe$ なる還元反應の反應速度を表はす) と瓦斯通過量と還元溫度の關係を圖示すれば第 11 圖の如くなり、これにより三者間の關係を明かにするを得た。

本實驗は旅順工科大學冶金學教室にてなしたるものにして絶えず御懇篤なる御指導を賜りたる長谷川熊彦先生に厚く御禮申上ぐると共に X 線研究に對し御指導を賜りたる大日方一司博士に感謝致します。